

³H-TdR 标记人骨髓间充质干细胞移植治疗 mdx 鼠的实验研究

柳太云¹, 李经伦², 姚晓黎¹, 董群伟³, 苏全喜³, 冯善伟¹, 李才明¹, 曾 纶¹, 刘祖国⁴, 张 成¹, 刘长征²(中山大学¹第一医院神经内科,²基础医学院实验核医学教研室,⁴中山大学眼科中心, 广东 广州 510089;³广州铁路局中心医院, 广东 广州 510080)

摘要:目的 探讨人骨髓间充质干细胞移植 mdx 鼠能否修复骨骼肌肌膜病变及干细胞在其体内的分布特点。**方法** 用氚 - 脱氧胸腺嘧啶(³H-TdR)标记人骨髓间充质干细胞(hBM-MSCs), 以每只鼠干细胞 1×10^7 /0.3 ml 经尾静脉注入 18 只免疫抑制的 mdx 鼠(8~10 周龄)。于移植后 24 h、48 h、2 周、1 月、2 月、4 月处死鼠, 分别测定各组织器官的放射活性; 用免疫荧光法检测骨骼肌肌膜营养障碍基因(dystrophin, Dys)表达情况。**结果** 移植后 1 月, 多数组织、器官放射活性显著高于对照组, 其中以骨髓、肝、脾放射活性增高更为明显。大多数组织器官放射活性随时间推移逐渐下降, 而骨骼肌放射活性的从 2 周时开始逐渐升高, 于 1 月时达到高峰(27.65 ± 3.53 Bq/mg 湿重)。1 月之后, 骨髓、骨骼肌放射活性仍保持较高水平。免疫荧光显示移植后 24 h、48 h、2 周骨骼肌 Dys 免疫荧光呈阴性, 1 月后呈阳性, 1 月、2 月、4 月阳性率分别为: 6.6%、8.4%、8.9%。**结论** hBM-MSCs 能植入 mdx 鼠体内, 并融合、分化为骨骼肌, 部分修复骨骼肌肌膜病变; hBM-MSCs 移植入 mdx 鼠后早期主要分布在骨髓、肝、脾, 后期主要分布在骨髓、骨骼肌。

关键词: 肌营养不良; 间充质干细胞; 氚 - 脱氧胸腺嘧啶

中图分类号: Q813 文献标识码: A 文章编号: 1000-2588(2005)05-0498-05

Transplantation of ³H-thymidine-labeled human bone marrow-derived mesenchymal stem cells in mdx mice

LIU Tai-yun¹, LI Jing-lun², YAO Xiao-li¹, DONG Qun-wei³, SU Quan-xi³, FENG Shan-wei¹, LI Cai-ming¹, ZENG Ying¹, LIU Zu-guo⁴, ZHANG Cheng¹, LIU Chang-zheng²

¹Department of Neurology, First Affiliated Hospital, ²Experimental Nuclear Medicine, ⁴Ophthalmology Center, Sun Yat-sen University, Guangzhou 510089, China; ³Guangzhou Central Railway Hospital, Guangzhou 510080, China

Abstract: **Objective** To investigate the feasibility of using human bone marrow-derived mesenchymal stem cells (hBM-MSCs) for repairing the skeletal muscle sarcolemma lesions in mdx mice and characterize the distribution of the transplanted hBM-MSCs. **Methods** Eighteen 8- to 10-week-old immunosuppressed mdx mice received transplantation with 1×10^7 of hBM-MSCs (the fifth passage) with ³H-thymidine (³H-TdR) labeling by injection of the cells into the tail vein. The mice were killed at 24 h, 48 h, 2 weeks, and 1, 2 and 4 months after the transplantation, respectively, to measure the radioactivity in the tissues and organs. Dystrophin expression on the sarcolemma was detected by immunofluorescence analysis. **Results** One month after transplantation, the mice with cell transplantation showed greater radioactivity in most of the tissues and organs than the control mice, especially in the bone marrow, liver and spleen. The radioactivity was then gradually lowered but in the skeletal muscle, the radioactivity increased progressively since 2 weeks after transplantation, reaching the peak of 27.65 ± 3.53 Bq/mg at 1 month. Compared with that in the control mice, the radioactivity in the bone marrow and skeletal muscle was persistently higher in mice with cell transplantation 1 month after transplantation. No dystrophin-positive cells were found in the mdx mice at 2 weeks but detected at 1 month. The percentage of dystrophin-positive fibers in each section ranged from 6.6% (1 month) to 8.9% (4 months). **Conclusions** hBM-MSCs engrafted in immunosuppressed mdx mice may differentiate into skeletal muscle cells to repair the pathological lesion of the skeletal muscle sarcolemma. The hBM-MSCs reside mainly in the bone marrow, liver and spleen in the early stage following transplantation, homing into the bone marrow and skeletal muscle later.

Key words: muscular dystrophy; mesenchymal stem cells, bone marrow-derived; ³H-thymidine labeling

收稿日期: 2004-11-05

基金项目: 卫生部临床学科重点项目(2001321)、国家自然科学基金(30170337)、博士点基金(20030558058)、广东省自然科学基金(2003A3020102)资助、广东省重点基金(2003A3020102)

Supported by the Key Project of State Ministry of Public Health (2001321), National Natural Science Foundation of China (30170337), Natural Science Foundation of Guangdong Province and Key Project of Guangdong Province(2003A3020102)

作者简介: 柳太云(1964-), 男, 副主任医师, 在读博士, 现从事神经遗传性疾病研究, 电话: 020-87334192, E-mail: ltylxlf@gzsums.edu.cn

通讯作者: 张成, 电话: 020-86332387; E-mail: czym@gzsums.edu.cn

假肥大型肌营养不良症 (Duchenne muscular dystrophy, DMD) 是一种以骨骼肌进行性变性、坏死为主要病理特征的致死性的 X- 性连锁隐性遗传性肌病, 发病机制是营养障碍基因(dystrophin, Dys)突变, 导致骨骼肌功能严重受损, 目前尚无有效的治疗方法。体外研究发现人骨髓干细胞可诱导分化为表达 Dys 的细胞^[1]; 已有研究用小鼠或大鼠骨髓间充质干细胞移植治疗肌营养不良(mdx)模型鼠, 结果发现 mdx 鼠的骨骼肌部分表达 Dys^[2]。但这些研究尚不能

证明mdx鼠中表达Dys的骨骼肌是由移植的干细胞分化而来。为此,我们用氚-脱氧胸腺嘧啶(³H-TdR)标记人骨髓间充质干细胞(hBM-MSC)移植治疗型mdx鼠,了解mdx鼠中表达Dys的骨骼肌是否由移植的干细胞分化而来;探讨干细胞在移植鼠体内的分布特点,为干细胞的临床应用提供理论依据。

1 材料和方法

1.1 材料

1.1.1 动物 mdx鼠购于美国Maine州的Jackson实验室(动物入境检疫许可证号为AD44010011),子代mdx鼠为纯合子mdx鼠配种后繁殖;36只8~10周mdx鼠,体质量20~23g,雌雄不限;C57鼠,8~10周,18只作为对照组,体质量20~25g,由中山大学中山医学院动物实验中心(动物合格证号为2001A027)提供。

1.1.2 试剂与仪器 ³H-TdR由中国科学院原子能研究所提供,放射活度为 3.7×10^{10} Bq/ml。高氯酸(天津市鑫源化工厂),闪烁剂(Sigma),无水乙醇(汕头市先华化学厂),恒温水浴箱(北京设备厂),液闪计数仪(美国Packard)。

1.2 实验方法

1.2.1 hBM-MSC培养和纯化 无菌条件下,取健康成人骨髓约20ml,以淋巴细胞分离液通过密度梯度法分离单个核细胞(MNC)并以PBS洗2次;以 1×10^6 /ml的密度接种于含10%胎牛血清、1%谷氨酰胺的DMEM/F12培养基(T-25培养瓶)中,置37℃、5%的CO₂、饱和湿度的孵箱内培养。每3~4d换液1次,细胞长到80%融合时,用1:1的2.5g/L胰蛋白酶和0.2g/LEDTA混合液消化,以1:2的比例传代培养。

1.2.2 ³H-TdR标记hBM-MSC 取第5代hBM-MSC以每瓶细胞掺入³H-TdR 1uCi(3.7×10^7 Bq),使其随细胞的分裂增殖掺入细胞DNA,72h后用1:1的2.5g/L胰蛋白酶和0.2g/LEDTA混合液消化、收集干细胞以备移植。

1.2.3 hBM-MSC移植mdx鼠 实验鼠分为3组:(1)C57鼠(18只);(2)mdx移植鼠(18只);(3)mdx未移植鼠(18只)。实验鼠均予6Gy的γ射线全身照射以抑制免疫;(1)、(2)组均以每只鼠 1×10^7 hBM-MSC细胞(0.3ml,放射性计数为 5.4×10^5 Bq)经尾静脉注入;(3)组为空白对照组,经尾静脉注入0.3mlPBS。

1.2.4 体内干细胞分布 于移植后24h、48h、2周、1月、2月、4月处死鼠(每一时间点3只鼠),取其外周血、心、肝、脾、肺、肾、胃、小肠、脑、肌肉、骨髓等组织、器官,各取50~100mg(湿重)组织样品置于玻璃试管

中,先加高氯酸0.1ml消化约20min,然后加入30%双氧水0.2ml振摇混匀,盖上瓶塞放入75℃~80℃恒温水浴箱中消化2h至其变为无色清澈液,取出冷却。加入5ml闪烁剂(7g闪烁剂PPO溶解于1L二甲苯中),再加入4ml无水乙醇及1滴VitC,摇匀,避光静置5h后用液闪仪测量,计算出单位重量的放射性计数(cpm/mg)。

1.2.5 移植鼠骨骼肌Dys/utrophin(Utr)免疫荧光检测 取腓肠肌组织约1cm×0.5cm×0.5cm大小,放入预冷的异戊烷3~5s后,浸入液氮中冷冻;冰冻切片,厚5μm。然后行Dys、Utr免疫荧光双染检测:(1)10%BSA封闭,室温20min;(2)甩干后,滴加鼠抗人Dys一抗(NCL-DYS3,Novocastra;1:40),湿盒内37℃孵育2h;(3)滴加山羊抗鼠-FITC二抗(博士德生物工程有限公司,1:100),37℃孵育30min。(4)正常兔封闭血清(1:20),室温20min;(5)滴加山羊抗鼠Utr一抗(Santa Cruz Biotech,1:100),4℃孵育过夜;(6)滴加生物素-兔抗羊二抗(博士德生物工程有限公司,1:100),37℃孵育20min;(7)滴加亲生物素-Cy3(1:100),室温20min。用共聚焦成像系统观察结果,与Dys抗体结合的的荧光FITC其激发波长为490~495nm,在520~530nm发射荧光,呈绿色;与Utr抗体结合的荧光Cy3其激光激发波长为554nm,在568~574nm发射荧光,呈红色;如果两种抗体均存在,则Cy3与FITC染色均呈阳性,共聚焦时的颜色为亮黄色。以健康成人骨骼肌作为阳性对照;阴性对照为PBS替代Dys一抗。每只鼠肌切片在荧光显微镜下连续观察10个视野,记数Dys免疫荧光着色阳性肌纤维占全部视野肌纤维的比例,然后算出3只鼠Dys免疫荧光阳性率。

1.3 统计分析

测定结果以 $\bar{x} \pm s$ 表示;组间比较用方差分析(SPSS 10.0 for Windows)。

2 结果

2.1 移植鼠不同时点各器官放射活性

移植mdx鼠后48h以肝、脾、骨髓、胃肠放射性计数增高为主;2周以骨髓、肝、脾、胃肠、肌肉增高为主;1月以骨髓、肝、肌肉增高为主;2月后以骨髓、肌肉增高为主(表1)。移植C57鼠后2周内以肝、脾、骨髓、胃肠放射性计数增高为主;1月之后仅肝放射性计数稍高,而骨髓放射性计数仍较高(表2)。移植mdx鼠与C57鼠不同时点心、肌肉、脑、骨髓放射活性比较见表3。

2.2 骨骼肌免疫荧光检测

移植mdx鼠24h、48h、2周后肌膜NCL-DYS3

表 1 移植鼠不同时点各器官放射活性 ($n=3$, Bq/mg, $\bar{x}\pm s$)Tab.1 Radioactivity of ^3H -hymidine in the organs of *mdx* mice with hBM-MSCtransplantation ($n=3$, Bq/mg, Mean \pm SD)

Tissue and organ	Time after transplantation					
	24 h	48 h	2 weeks	1 month	2 months	4 months
Blood	30.42 \pm 2.53	8.75 \pm 2.12	3.15 \pm 0.81	1.84 \pm 0.63	1.29 \pm 0.56	0.97 \pm 0.48
Heart	4.99 \pm 0.67	6.84 \pm 1.10	8.93 \pm 0.94	7.42 \pm 0.84	4.85 \pm 0.73	4.47 \pm 0.45
Liver	44.47 \pm 10.46	68.74 \pm 14.28	34.37 \pm 6.24	20.25 \pm 2.78	8.43 \pm 1.43	5.74 \pm 1.05
Spleen	25.47 \pm 6.87	77.45 \pm 16.48	18.96 \pm 0.88	7.24 \pm 0.67	4.78 \pm 0.76	4.57 \pm 0.85
Lung	6.78 \pm 1.04	6.21 \pm 0.57	4.04 \pm 0.69	3.27 \pm 0.86	4.12 \pm 0.34	2.75 \pm 0.39
Kidney	4.73 \pm 0.87	3.89 \pm 0.39	3.25 \pm 0.64	2.33 \pm 0.54	1.45 \pm 0.27	1.04 \pm 0.19
Stomach	23.56 \pm 6.73	27.49 \pm 5.48	16.58 \pm 3.84	7.89 \pm 1.77	4.76 \pm 0.82	3.75 \pm 0.49
Intestine	20.43 \pm 5.25	24.84 \pm 3.98	10.36 \pm 2.47	5.88 \pm 0.92	4.45 \pm 0.67	4.02 \pm 0.66
Muscle	5.18 \pm 1.24	6.28 \pm 0.84	14.84 \pm 1.36	27.65 \pm 3.53	11.22 \pm 2.15	6.25 \pm 0.65
Brain	3.82 \pm 0.48	4.92 \pm 0.24	11.86 \pm 0.99	10.44 \pm 2.04	7.56 \pm 1.25	4.32 \pm 0.37
Bone marrow	38.42 \pm 7.48	44.52 \pm 8.67	58.43 \pm 8.99	40.13 \pm 4.78	28.49 \pm 4.82	13.45 \pm 1.37

High level of radioactivity of ^3H -hymidine was mainly found in the liver, spleen, bone marrow and intestine 48 h after cell transplantation. The radioactivity increased in the bone marrow, liver, spleen, intestine, and muscles 2 weeks after transplantation, and the increase was the most manifest in the bone marrow, liver, and muscle at 1 month and in the bone marrow and muscles at 2 months after transplantation.

表 2 移植鼠不同时点各器官放射活性 ($n=3$, Bq/mg, $\bar{x}\pm s$)Tab.2 Radioactivity of ^3H -hymidine in the organs of C57 mice with hBM-MSCtransplantation ($n=3$, Bq/mg, Mean \pm SD)

Tissue and organ	Time after transplantation					
	24 h	48 h	2 weeks	1 month	2 months	4 months
Blood	33.12 \pm 2.64	9.15 \pm 1.22	2.25 \pm 0.30	2.05 \pm 0.33	1.76 \pm 0.67	1.09 \pm 0.38
Heart	5.54 \pm 0.62	6.14 \pm 1.24	6.67 \pm 0.73	5.92 \pm 0.58	5.15 \pm 0.64	3.56 \pm 0.51
Liver	58.46 \pm 10.16	64.32 \pm 11.29	28.24 \pm 5.45	9.28 \pm 1.48	8.61 \pm 1.14	4.724 \pm 0.85
Spleen	22.47 \pm 6.87	62.46 \pm 12.48	23.47 \pm 0.52	7.31 \pm 0.57	5.45 \pm 0.81	3.26 \pm 0.55
Lung	8.98 \pm 1.08	6.38 \pm 0.77	3.58 \pm 0.68	3.27 \pm 0.74	2.99 \pm 0.42	2.75 \pm 0.34
Kidney	5.23 \pm 0.57	4.19 \pm 0.37	3.41 \pm 0.57	3.38 \pm 0.44	3.15 \pm 0.56	2.84 \pm 0.39
Gastero	21.86 \pm 4.11	24.26 \pm 4.81	13.28 \pm 1.61	6.53 \pm 0.97	4.76 \pm 0.82	4.10 \pm 0.57
Intestine	18.23 \pm 3.15	21.63 \pm 3.45	12.23 \pm 1.45	4.88 \pm 0.83	4.45 \pm 0.67	3.83 \pm 0.61
Muscle	4.43 \pm 1.14	4.98 \pm 0.74	4.26 \pm 1.06	3.95 \pm 0.42	3.35 \pm 0.34	3.61 \pm 0.43
Brain	3.32 \pm 0.41	5.12 \pm 0.31	6.23 \pm 0.74	6.14 \pm 0.64	5.16 \pm 0.58	4.42 \pm 0.88
Bone marrow	37.62 \pm 6.95	54.61 \pm 5.69	47.63 \pm 6.52	45.10 \pm 4.67	35.58 \pm 3.84	17.86 \pm 2.58

High radioactivity of ^3H -hymidine was mainly found in the liver, spleen, bone marrow and intestine 2 weeks after transplantation, with moderately high level in the liver and obviously high level in the bone marrow 1 month after transplantation.

免疫荧光呈阴性;1、2、4月后 NCL-DYS3 免疫荧光呈阳性,为绿色;其 utrophin 免疫荧光呈红色;共聚焦显微镜呈黄色(图 1),阳性率分别为 6.6%、8.4%、8.9%。图 2 示健康成人骨骼肌 dystrophin/utrophin 免疫荧光共聚焦成像,肌膜均呈黄色。

3 讨论

3.1 hBM-MSC 移植治疗 *mdx* 鼠不同时间点干细胞分布特点

国外已有用 ^{111}In -oxine 标记干细胞进行体内短

期示踪研究^[3],其发出的 γ 射线能量较高,可能造成干细胞染色体的断裂,而且其半衰期仅 67 h,远远不能满足 *mdx* 鼠干细胞移植治疗需要长期示踪的要求, ^3H -TdR 具有稳定掺入 DNA 并且射线能量低,半衰期长的特点(12.35 年);易测定且放射自显影效果清楚,具有良好的示踪作用,因其标记率高达 97%,故其放射计数大小基本可代表干细胞的多少,因此我们选用 ^3H -TdR 作为干细胞的示踪剂。本研究结果表明,移植后 24 h 时 *mdx* 鼠中以肝脏含干细胞最高,其后依次为骨髓、血、脾、胃、肠、肺、肌、肾、心、脑,可能

表3 移植鼠不同时点各器官放射活性($n=3$, Bq/mg, $\bar{x}\pm s$)Tab.3 Comparison of ³H-hymidine radioactivity in the organs of mdx and C57 mice with hBM-MSC transplantation ($n=3$, cpm/mg, Mean \pm SD)

Organ	Mouse	Time after transplantation				
		24 h	48 h	2 weeks	1 month	2 months
Heart	Mdx	4.99 \pm 0.67	6.84 \pm 1.10	8.93 \pm 0.94*	7.42 \pm 0.84*	4.85 \pm 0.73
	C57	5.54 \pm 0.62	6.14 \pm 1.24	6.67 \pm 0.73	5.92 \pm 0.58	5.15 \pm 0.64
Muscle	Mdx	5.18 \pm 1.24	6.28 \pm 0.84**	14.8 \pm 1.36**	27.65 \pm 3.53**	11.2 \pm 2.15**
	C57	4.43 \pm 1.14	4.98 \pm 0.74	4.26 \pm 1.06	3.95 \pm 0.42	3.35 \pm 0.34
Brain	Mdx	3.82 \pm 0.48	4.92 \pm 0.24	11.8 \pm 0.99**	10.44 \pm 2.04**	7.56 \pm 1.25**
	C57	3.32 \pm 0.41	4.92 \pm 0.24	6.23 \pm 0.74	6.14 \pm 0.64	5.16 \pm 0.58
Bone marrow	Mdx	38.42 \pm 7.48	44.52 \pm 8.67	58.4 \pm 8.99*	40.13 \pm 4.78	28.49 \pm 4.82
	C57	37.62 \pm 6.95	54.6 \pm 5.69*	47.6 \pm 6.52	45.10 \pm 4.67*	35.5 \pm 3.84**

* $P<0.05$, ** $P<0.01$ for comparison between mdx mice and C57 mice by analysis of variance

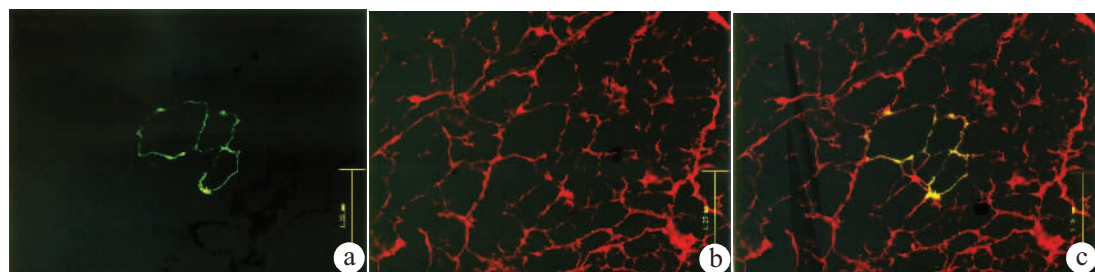


图1 移植mdx鼠2月时肌膜NCL-DYS3/utrophin免疫荧光共聚焦显像

Fig.1 Confocal immunofluorescence images of NCL-DYS3/utrophin-positive cells in the skeletal muscle of mdx mice 2 months after hBM-MSC transplantation (Original magnification: $\times 200$)

a: NCL-DYS3 positivity (green) in part of the sarcolemma; b: Utrophin positivity (red) in the entire sarcolemma; c: Co-expression of NCL-DYS3 and utrophin (yellow)

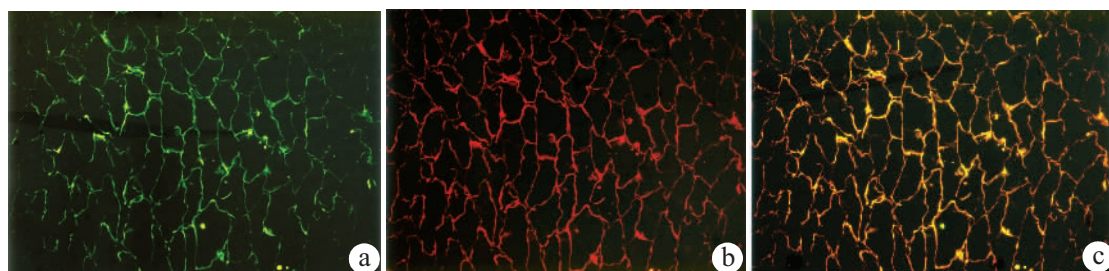


图2 健康成人骨骼肌NCL-DYS3/utrophin免疫荧光共聚焦成像

Fig.2 Confocal immunofluorescence images of NCL-DYS3/utrophin-positive cells in the skeletal muscle of healthy human adult (Original magnification: $\times 200$)

a: NCL-DYS3 positivity (green) in the whole sarcolemma; b: Utrophin positivity (red) in the entire sarcolemma; c: Co-expression of NCL-DYS3 and utrophin (yellow)

因为肝脏、骨髓含血丰富,且骨髓放疗后需要较原始的干细胞造血的缘故——体外研究认为hBM-MSC尚有支持造血的作用,但随BM-MSC传代次数的增加,其造血支持作用逐渐下降^[1,4]。48 h时,脾脏含量最高,肝脏退居第二位,其后依次是骨髓、胃、肠、血、肌肉、心脏等,脾脏含量高可能与异种干细胞的免疫反应有关;2周时干细胞的回巢现象使其在骨髓进一步聚集,骨髓中放射活性最高,肝、脾、胃、脑、肠等部

位的干细胞向骨髓、心肌、肌肉转移,含量开始下降,所占比例缩小,而肌肉和心肌放射含量比例提高;在1、2、4月时各器官除肌肉外放射性进一步下降,但骨髓含量仍较高。由此我们推论,移植后早期(24 h~2周),干细胞分布于多数组织、器官,其中以骨髓、肝、肺、脾的分布更多;2周后干细胞向骨髓回巢使其在骨髓大量聚集,多数器官干细胞分布随时间推移逐渐下降;并逐渐植入骨骼肌,于1月时达到高峰,但此

时尚未分化为肌细胞或分化为肌细胞的很少；之后才逐渐分化为肌细胞，2月后分化的肌细胞逐渐增多，并持续至20、24周。

3.2 mdx 鼠与C57鼠部分器官放射活性分布不同

心脏的放射计数在24 h、48 h、2月时两者无统计学意义($P>0.05$)，而在2周、1月、4月时具有显著统计学意义($P<0.01$)；在肌肉中其放射性计数除24 h外其余时间点两者比较均有极显著的统计学意义($P<0.01$)；在脑中其放射性计数在24 h、48 h、4月两者比较无统计学意义，而在2周、1月、2月时间点时有极显著统计学意义($P<0.01$)。结果表明随着时间的延长，hBM-MSC有向mdx鼠受损部位(骨骼肌)迁移的特点，提示干细胞可能在此部位分化为肌细胞；免疫荧光检测显示移植1月、2月、4月后Dys免疫荧光呈阳性，进一步证明移植mdx鼠Dys阳性肌细胞来源hBM-MSC；多数学者认为^[5,6]，体内微环境、细胞与细胞接触、细胞内基质在决定干细胞定向分化为特定体细胞中发挥重要作用。2周时mdx鼠骨髓放射活性含量比C57鼠高，这说明进入mdx鼠的干细胞回巢快、骨髓重建快；在其余时间点除24 h两者无统计学意义外，C57鼠骨髓放射活性比mdx鼠高($P<0.05$)，说明两者的hBM-MSC向骨髓回巢后再转化为其它(肌)细胞的能力不同，mdx鼠需要干细胞不断分化移动去补充凋亡坏死的各种细胞，干细胞动员得比C57鼠快，所以骨髓的放射性含量下降也快。

3.3 hBM-MSC可部分修复骨髓肌肌膜病变

体外研究^[7]表明骨髓间质干细胞在体外诱导(用5-氮杂胞苷)能分化为肌样细胞；未经诱导的骨髓间质干细胞也表达成肌调节因子MyoD、Myf5、myogenin。本实验采用NCL-DYS3抗体检测移植mdx鼠肌膜Dys的表达；NCL-DYS3抗体系抗人类Dys氨基端NCL-DYS的单克隆抗体，是抗人类Dys的特异性抗体，不与鼠肌膜Dys起免疫反应^[6,8]；因此mdx鼠肌膜NCL-DYS3阳性肌细胞系hBM-MSC分化而来。本实验结果发现人骨髓干细胞移植治疗mdx鼠后随疗程延长肌纤维Dys阳性率逐渐增高(移植1月、2月、4月肌纤维Dys免疫荧光阳性率分别为6.6%、8.4%、8.9%)。与骨骼肌³H-TdR放射活性分布动态变化特点一致，证明hBM-MSC能植入mdx鼠体内，并分化为骨骼肌，部分修复骨髓肌肌膜病变。但2周时骨骼肌³H-TdR放射活性较高而Dys免疫荧光呈阴性，原因可能是干细胞虽植入骨骼肌，但尚未分化为肌细胞，所以肌膜不表达Dys。有研究^[6]人骨髓干细胞移植治疗NOD/RAG鼠后，发现mdx鼠肌肉每张切片中人Dys阳性肌纤维达 14.1 ± 3.6 个(干细胞植人率0.26%)；提示hBM-MSC分化为骨骼肌

的能力比全骨髓干细胞强，也说明mdx鼠的肌肉病变对MSC有更强的趋化性；在Chen^[9]的实验中也观察到人骨髓干细胞治疗脑缺血时，脑缺血局对干细胞趋化引导作用，机制尚不清楚。虽然有研究^[10]认为鼠造血干细胞和间充质干细胞都能分化为骨骼肌细胞，但也有研究^[11]认为造血干细胞分化为骨骼肌细胞的能力有限。本研究表明hBM-MSC移植有可能成为DMD的一种有效治疗手段。

参考文献：

- [1] Reyes M, Lund T, Lenvik T, et al. Purification and *ex vivo* expansion of postnatal human marrow mesodermal progenitor cells[J]. Blood, 2001, 98: 2615-25.
- [2] 张为西, 张成, 刘焯霖, 等. Duchenne 肌营养不良模型鼠骨髓移植后 dystrophin 的表达[J]. 中华神经科杂志, 2002, 35(10): 358-60. Zhang WX, Zhang C, Liu ZL, et al. Dystrophin expression in mdx mouse restored by bone marrow transplantation[J]. Chin J Neurol, 2002, 35(10): 358-60.
- [3] Gao JZ, Dennis JE, Muzic RF, et al. The dynamic *in vivo* distribution of bone marrow-derived mesenchymal stem cells after infusion [J]. Cells Tissues Organs, 2001, 169: 12-20.
- [4] 林竟韧, 郭坤元, 严定安. 人骨髓基质干细胞克隆对脐血造血干细胞体外扩增作用的研究[J]. 中国现代医学杂志, 2003, 13(6): 8-11. Lin JR, Guo KY, Yan DA. A study on the clone culture of human bone marrow mesenchymal stem cells (hMSCs) and their *ex vivo* support affect on hematopoiesis [J]. Chin J Mod Med, 2003, 13(6): 8-11.
- [5] Watt FM, Ogan BL. Stem cells and their niches [J]. Science, 2000, 287: 1427-30.
- [6] Bossolasco P, Corti S, Strazzer S, et al. Skeletal muscle differentiation potential of human adult bone marrow cells[J]. Exp Cell Res, 2004, 295: 66-78.
- [7] 曾缨, 张成, 刘克玄, 等. 成肌调节因子MoyD与myogenin在肌肉损伤修复过程的动态变化[J]. 第一军医大学学报, 2004, 24(5): 542-5. Zeng Y, Zhang C, Liu KX, et al. Dynamic changes in the expressions of myogenic regulatory factors MyoD and myogenin during repair of muscle injury [J]. J First Mil Med Univ/Di Yi Jun Yi Da Xue Xue Bao, 2004, 24(5): 542-5.
- [8] Altmannsberger M, Weber K, Droste R, et al. Desmin is a specific marker for rhabdomyo-sarcomas of human and rat origin[J]. Am J Pathol, 1985, 118: 85-95.
- [9] Chen J, Sanberg PRY, Li Y, et al. Intravenous administration of human umbilical cord blood reduces behavioral deficits after stroke in rats[J]. Stroke, 2001, 32: 2682-8.
- [10] Corti S, Strazzer S, Del Bo R, et al. A subpopulation of murine bone marrow cells fully differentiate along the myogenic pathway and participates in muscle repair in mdx dystrophic mouse [J]. Exp Cell Res, 2002, 277: 74-85.
- [11] Camargo FD, Green R, Capetanaki Y, et al. Single hematopoietic stem cells generate skeletal muscle through myeloid intermediates [J]. Nat Med, 2003, 9:1520-27.